

دراسة استخلاص حامض التانك من قشور الرمان وتطبيقاته في إزالة أيون الكروم (III) من المياه الصناعية د. سعدية احمد ظاهر ، منتهى حرجان عليوي

دراسة استخلاص حامض التانك من قشور الرمان وتطبيقاته في إزالة أيون الكروم (III) من المياه الصناعية

د. سعدية احمد ظاهر

جامعة بغداد - كلية العلوم للبنات

منتهى حرجان عليوي

وزارة العلوم والتكنولوجيا - دائرة بحوث المواد

الخلاصة :

تضمن البحث دراسة استخلاص مادة طبيعية (حامض التانك) من قشور الرمان والتي تستعمل كمادة أساسية في معالجة تلوث المياه بالعناصر الثقيلة وذلك باستعمال تقنية كروماتوغرافيا السائل ذات الأداء العالي. بالمقابل استعمال التقنيات الطيفية مثل الأشعة فوق البنفسجية - المرئية، وتقنية الإشعة تحت الحمراء، وقد تم تقدير حامض التانك بوساطة تقنية كروماتوغرافيا السائل عالي الأداء وعمود فصل من نوع C_{18} (5 μ m, 250 Cm, 4.6mm) باستعمال مكشاف UV عند طول موجي 265 نانومتر، اذ كان زمن الاحتجاز 6.348 دقيقة ومقدار الانحراف القياسي النسبي المئوي 1.28 ± 0.26 ومعدل نسبة الاسترجاع 98.2، وان الحد الأدنى للكشف (LOD) باستعمال الطريقة المقترحة هو 0.26 مايكروغرام.مليتر⁻¹، وحد التقدير الكمي (LOQ) هو 0.85 مايكروغرام.مليتر⁻¹، وكذلك تضمن البحث تفاعل حامض التانك مع أيون فلز الكروم (III)، لتكوين المعقد إذ إن الطول الموجي الاعظم للكاشف مع هذا الايون هو 601 نانومتر علما ان الطول الموجي لحامض التانك القياسي كان 281 نانومتر. فضلا عن دراسة الظروف المثلث لتفاعل ايون الكروم (III)، مع الكاشف من حجم وتركيز الكاشف والدالة الحامضية. تمت دراسة استقرارية المعقد المتكون وترتيب الاضافة لمكونات التفاعل، ومدى خطية منحنى المعايره فكان تركيز ايون الكروم (III)، يقع ضمن مدى

دراسة استطرد حامض التانك من قشور الرمان وتطبيقاته في إزالة أيون الكروه (III) من المياه الصناعية د. سعدية احمد ظاهير ، منتهى درجان عليوي

التركيز 18 جزء في المليون بمعامل ارتباط 0.9991، وقيمة معامل الامتصاص المولاري 0.3×10^4 لتر.مول⁻¹. سم⁻¹ وحساسية ساندل 0.0049 مايكروغرام . سم² لمعقد الكروم الكاشف، كما تم دراسة طبيعة المعقد المكون من خلال ايجاد نسبة الايون الفلزي الى الكاشف (M:L) بتطبيق طريقة النسبة المولية فكانت تساوي 1:3، عند الدالة الحامضية 7، كما تم حساب ثابت الاستقرارية (kst) للمعقد $10^{4*} 5.9491$ ، لتر⁻². مول⁻² ، وتم تحديد ضبط ودقة الطريقة التحليلية المتبعه باستعمال محاليل قياسية من ايون الكروم مع تركيز قياسي للكاشف فكانت التكرارية RSD% بالنسبة الى تركيز 18 جزء بال مليون مساوية لـ 0.62 RSD% اما الدقه (Erel%) فكانت تساوي 1.86 فضلا عن دراسة رواسب المعقدات من خلال تحديد بعض الصفات الفزيائية لها مثل درجة الانصهار وقابلية الذوبان والتوصيلية المولارية فضلا عن قياس اطيف الاشعة تحت الحمراء مع اقتراح الصبغه التركيبية للمعقد المكون مع الكاشف.

الكلمات المفتاحية: حامض التانك (Tannic acid)، ايون الكروم (Cr(III)، كروماتوغرافيا السائل عالي الاداء (HPLC).

المقدمة :

ينشأ التلوث الكيميائي من ازدياد الانشطه الصناعية او الزراعية بالقرب من المسطحات المائية. مما يؤدي الى طرح العديد من الملوثات التي تصرف في اغلب الاحيان دون المعالجة الى مجري الانهار ومنها الى الموارد المائية السطحية والجوفية. وهذه تشكل احد العناصر للتلوث المهمة في مياه الفضلات وتعد الجزء الاساسي والمهم في مياه الفضلات الصناعية ويصعب التخلص من قسم كبير منها بعمليات معالجة حيوية تقليدية [1] وتتضمن هذه الملوثات مواد عضوية ومواد لاعضوية وغازات [2]. ان تسمية العناصر الثقيلة جاءت من امتلاك هذه العناصر لكثافة نوعية عالية اكبر من 5 غم.سم⁻³ اي خمس مرات اكبر من كثافة الماء. وقد تعرف على انها العناصر التي لها وزن ذري اعلى من الوزن الذري للصوديوم وتكون رغوة عند تفاعلها مع الاحماض الدهنية وتسبب تدميرا للخلايا الحية وتميل للتركيز خلال السلسلة الغذائية [3]. وبعضها يطلق عليه بالعناصر النزرة لقلة وجودها في الاوساط البيئية ويصل عددها في الجدول الدوري الى 38 عنصراً. واعتماداً على تركيز هذه العناصر في مياه البحر 1 مايكرو مول- 1 نانو مول حدد نيس [20] سبعة عشر عنصراً ثقيلاً وصنفها اعتماداً

دراسة استطراد حامض التانك من قشور الرمان وتطبيقاته في إزالة أيون الكروم (III) من المياه الصناعية د. سعدية احمد ظاهير ، منتهى درجان عليوي

على شدة سميتها. يُعد الكروم من الملوثات الرئيسة في مياه الفضلة الصناعية للعديد من الصناعات (معامل صناعة ودباغة الجلد، ومعامل الأصباغ، والطلاء الكهربائي، وصناعة العوازل المعدنية المستعملة في غرف التبريد الخ) [4]. إذ يُعد الكروم السداسي عالي السمية عندما يكون بتركيز عالي [5]. وكذلك الحال بالنسبة للكروم الثلاثي فإنه وفي ظروف خاصة يتفاعل مع المركبات العضوية المتوفرة والمنغنيز مكوناً كروماً سداسياً الذي يُعد خطراً نسبياً على صحة الإنسان [6]. الشكل السداسي للكروم في الصناعة يظهر عادة بشكل الكرومات (CrO_4^{2-}) أو كرومات ثنائية ($\text{Cr}_2\text{O}_7^{2-}$) إذ يتصرف الكروم هنا كواهب للأوكسجين بحسب كيميائية الكروم [6]، أما الكروم الثلاثي فإنه يوجد بشكل هيدروكسيد وثنائي هيدروكسيد ورباعي هيدروкси [7]. يكون الكروم في هذه الحالة التكافؤية مستقرًا نسبيًا في كل من الماء والهواء النقي ولكنه يختزل إلى الحالة الثلاثية عندما يصبح ملائمةً للمواد العضوية في النباتات والحيوانات وفي التربة والماء [8]. من وجهة نظر أخرى فإن الكروم من العناصر الأساسية للإنسان يأخذ عن طريق الطعام بمعدل يتراوح من 50-200 ملغم / يوم، والتركيز المسموح به من الكروم في مياه الشرب هو 50 ملغم / لتر [9].

التانك والتانينات هي مركبات متعددة الفينولات، ويوجد الفينول على هيئة ثلاثة ايزومرات استخلص لأول مرة من فحم القير من قبل العالم Rung سنة 1834. إن الاسم الشائع للفينول يعود إلى مجموعة الهايدروكسيل المتصلة بالحلقة الاروماتية حيث أنها تعطي خصائص حامضية واضحة. والفينولات ذات الأوزان الجزيئية الواطئة هي سائلة أو صلبة ذات درجة انصهار واطئة. والفينولات قليلة الذوبان بالماء ولكن قابلية ذوبانها تقل بزيادة المجاميع الالكيلية المعرفة [10]. والتانينات تكون قادرة على تكوين هياكل كيمياوية باللغة التعقيد . وحامض التانك له صيغة كيميائية $\text{C}_{76}\text{H}_{52}\text{O}_{46}$ ويكون الشكل التجاري من التانينات ويمثل وزناً جزيئياً يقدر بـ 1071.20 غرام / مول. ومنذ 300 سنة مضت استخرج المصريون هذه المواد واستعملوها في الدباغة لقابليتها على الدباغة إذ استخدمت في الصناعة والدباغة. أما الان فإن التانينات الاصطناعية اكتسبت أهمية أكبر من التانينات المستخرجة من المصادر الطبيعية [11]. ان بعض الباحثين أصبحوا يستعملون هذه المركبات لمختلف التطبيقات ومن ضمنها كمضاد للبكتيريا ومضاد للأكسدة .[13,12]

دراسة استخلاص حامض التانك من قشور الرمان وتطبيقاته في إزالة أيون المحروء (III) من المياه الصناعية د. سعدية احمد ظاهير ، منتهى درجان عليوي

الهدف من الدراسة:

أولاً: إستحداث طريقة بديلة تكون أكثر فاعلية وذات أهمية اقتصادية في معالجة تلوث البيئة المائية بالعناصر الثقيلة باستعمال مادة طبيعية (حامض التانك) تستخلص من بعض المخلفات النباتية كقشور الرمان.

ثانياً: إجراء دراسة عن حامض التانك المستخلص والمعقدات التي يكونها مع أيونات العناصر الثقيلة ومقارنته العمل مع حامض التانك القياسي.

طرائق العمل:

استخلاص حامض التانك

اعتمدت الطريقة التي اتبعها هاربورن في استخلاص التانينات من قشور الرمان والمذيبات المستعملة في عملية الاستخلاص بطريقة هاربورن هي البنزين، الإيثانول 95%، والماء الحار [14,15]، أجريت عملية الاستخلاص باستعمال جهاز الاستخلاص المستمر السكسوليت حيث أخذ (100 غرام) من قشور الرمان تمت معاملتها مع البنزين وبدرجة حرارة 60-70 م° ولمدة 3 ساعة لازالة الدهون والصبغات منها ثم استمرت عملية الاستخلاص باستعمال الإيثانول بنقاوه 95% مع حامض التانك واستمرت عملية الاستخلاص لمدة 12 ساعة إلى أن أصبح المذيب (عديم اللون) في جهاز الاستخلاص وباستخدام المبشر الدوار تم تركيز المستخلص والحصول على 100 ملتر من التانك ثم جرت عملية الترشيح وتم الحصول منها على راسببني اللون وراشح من المستخلص الكحولي. وبعد إكمال العمل بجهاز الاستخلاص المستمر (سكسوليت) نقلت العينة إلى دورق مخروطي سعة 500 ملتر واضيف اليه 200 ملتر من الماء الحار 80 م° لاستكمال عملية استخلاص حامض التانك الباقي باستعمال الرجاج الكهربائي لمدة 24 ساعة ترك بعدها محلول ليبرد ثم تم ترشيح المستخلص المائي وتم الحصول على راسببني وراشح من المستخلص المائي لقشور الرمان [16,17].

تحضير المحاليل القياسية :

تحضير محاليل الكاشف (حامض التانك) مايكرو غرام / ملتر
المحضر بتركيز (1000) جزء من المليون و باذابة (0.1 gm) من حامض التانك النقي بكمية قليلة من الماء المقطر واكملاً للحجم إلى (100 mL) في قنينة حجمية سعة (100 mL).

دراسة استخلاص حامض التانك من قشور الرمان وتطبيقاته في إزالة أيون الكرومات (III) من المياه الصناعية د. سعدية احمد ظاهير ، منتهى درجان عليوي

تحضير محليل أيون الكروم (III) القياسي الخزين 1000 ميكرو غرام / ملتر
حضر محلول مائي قياسي للكروم (1000) جزء من المليون باذابة (0.51244 gm) من ملح كلوريد الكروميك المائي ($\text{CrCl}_3 \cdot 6\text{H}_2\text{O}$) في 5 ملتر من الماء المقطر ثم أكمل الحجم بالماء المقطر إلى 100 ملتر في قنينة حجمية سعة 100 ملتر.

النتائج والمناقشة :

تقدير حامض التانك المستخلص باستخدام تقنية كروماتوغرافيا السائل عالي الأداء :

دراسة الظروف المثلث :

تم حقن 20 ميكرو لتر من الانموذج إلى العمود عند كل عملية تحليل.

1- اختيار المذيب والطول الموجي :

تم تحضير 100 ميكروغرام من حامض التانك القياسي في عدد من المذيبات بشكل منفصل والنتائج موضحة في الجدول (1) حيث أخذ طيف الحامض في هذه المذيبات في مدى من الأطوال الموجية (400-190) نانومتر مقابل محلول الصوري الذي يمثل المذيب ، إذ أعطى حامض التانك القياسي أعلى امتصاص له عند الطول الموجي 265 ± 2 نانومتر، ويوضح الجدول رقم (1) أن المذيبات جميعها تعطي قمة طيفية متقاربة [18,19].

جدول (1) اختيار المذيب المناسب في عملية تقدير حامض التانك المستخلص من قشور الرمان

N0	Solvent	λ_{Max} (NM)	ABS	Note
1	Water	265	1.81	Sluble
2	Methanol	265	1.83	=
3	Ethanol	265	1.83	=
4	Methanol:Water(1:1)	267	2.23	=
5	Ethanol:Water(1:1)	265	1.76	=

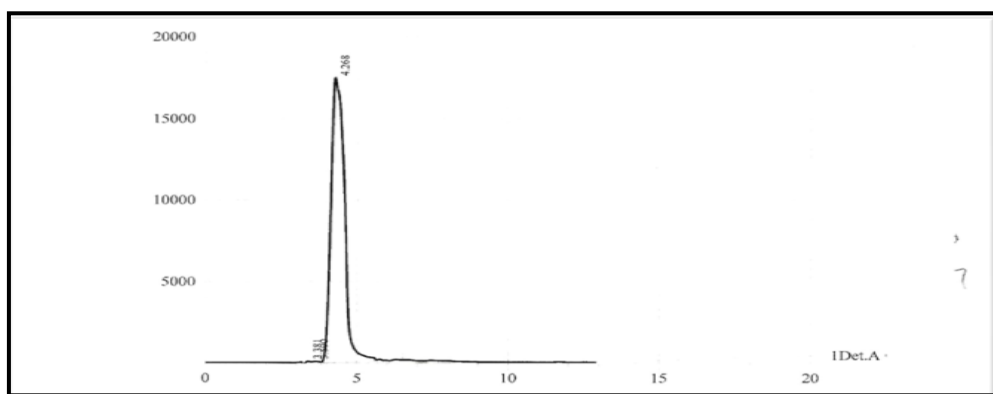
2- اختيار مكونات الطور المتحرك

يلاحظ من الجدول رقم (2) ان افضل مذيب هو الميثانول:الماء الاليوني بنسبة (70:30) اذ يظهر الكروماتوغرام قيمة واضحة بانتظار جيد ومعامل سعه مثالى وبזמן احتجاز قدره (6.316) دقيقة والنتائج موضحة في الشكل رقم (1).

دراسة استخلاص حامض التانك من قشور الرمان وتطبيقاته في إزالة أيون المثروه (III) من المياه الصناعية د. سعدية احمد ظاهير ، منتهى درجان علويوي

جدول (2) اختيار الطور المتحرك المناسب في عملية تقدير حامض التانك المستخلص من قشور الرمان

No	Mobile phase	Ratio%	TR(MIN)	K	AS	Note
1	Me-OH H ₂ O	30:70	6.316	1.196	1.973	Sharp
2	=	70:30	6.345	0.904	1.115	Sharp peak
3	=	60:40	2.754	0.226	0.326	Sharp peak
4	=	40:60	3.128	0.088	1.973	Sharp peak



الشكل (1) كروماتوغرام حامض التانك باستعمال الطور المتحرك (H₂O:Me-OH) (60-40) في الوسط المتعادل.

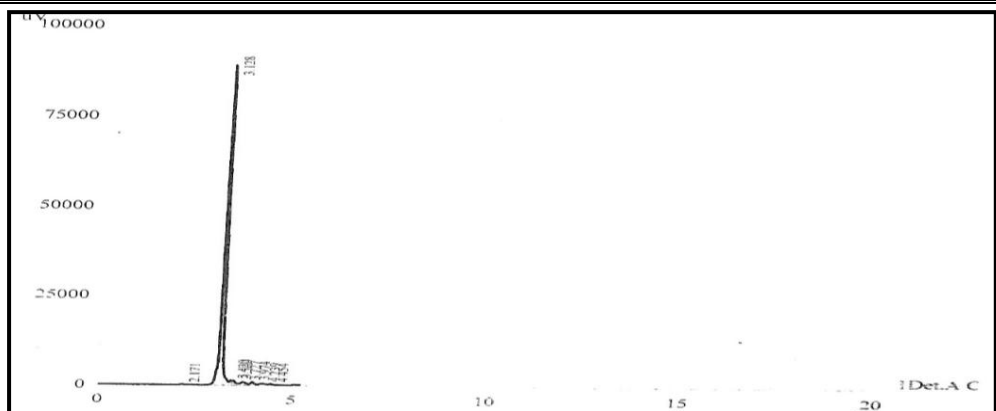
3- دراسة تأثير وسط التحليل

استعملت عدة اوساط حامضية وقاعدية بتركيز (1%) وبنسب مختلفة، كما موضح في الجدول (3). إذ تم حقن (20) ميكرولتر من محلول القياسي لحامض التانك بتركيز 500 مايكروغرام.ملتر⁻¹ وبازاحة ايزوكراتيه وبمعدل جريان واحد ملتر.دقيقة⁻¹ عند طول موجي 265 نانومتر في درجة حرارة الغرفة [20,21] إذ يلاحظ من الجدول (3) ان افضل كروماتوغرام يكون في الوسط المتعادل للطور المتحرك إذ اعطي الكروماتوغرام قيمة واضحة ومتوازنة جيد ومعامل سعة مثالي والنتائج موضحة في الشكل رقم (2).

جدول (3) تأثير وسط التحليل المناسب في عملية تقدير حامض التانك المستخلص من قشور الرمان

NO	Mobil Phase	PH	TR(MIN)	K	ASY	Note
1	Me-OH: H ₂ O K ₂ HPO ₄	8.5	2.754	1.754	0.326	Sharp Peak
2	Me.OH:H ₂ O	7-7.5	9.211	5.348	1.437	Sharp Peak
3	Me-OH:H ₂ O	4	TR(Min)	0.856	1.572	Tow peak

دراسة استخلاص حامض التانك من قشور الرمان وتطبيقاته في إزالة أيون الكروه (III) من المياه الصناعية د. سعدية احمد ظاهير ، منتهى درجان عليوي



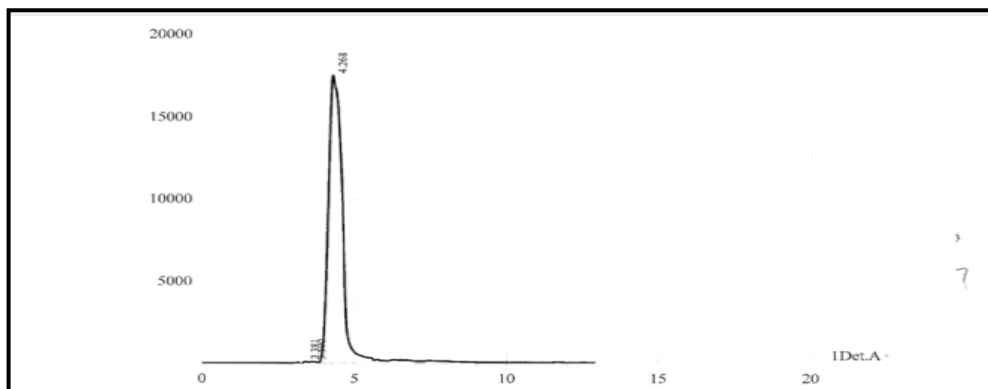
الشكل (2) كروماتوغرام حامض التانك باستخدام الطور المتحرك (60-40)(H₂O:Me-OH) يبين تأثير وسط التحليل.

4- دراسة تأثير درجة الحرارة

درس تأثير درجة الحرارة على زمن الاحتجاز وعلى معامل السعة والنتائج الموضح في الجدول (5-3)، اذ يبين الجدول ان قيم التناول ومعامل السعة ضمن المدى المثالي في درجة حراره الغرفة (25-30م) وكذلك فان درجات الحرارة العالية لخزن العمود يؤدي الى تلف العمود فضلا عن تلف النموذج المراد تحليله لذلك تم اختبار العمل في درجة حرارة الغرفة في التجارب اللاحقة.

جدول رقم (4) درجة الحرارة المناسبة في عملية تقدير حامض التانك المستخلص من قشور الرمان.

NO	Temiperature	TR(Min)	K	AS
1	40	6.464	0.244	0.701
2	30 Rome.Temp	4.268	3.268	1.08
3	50	6.485	0.241	1.776



الشكل رقم (3) كروماتوغرام حامض التانك في درجة حرارة الغرفة.

دراسة استخلاص حامض التانك من قشور الرمان وتطبيقاته في إزالة أيون المحروء (III) من المياه الصناعية د. سعدية احمد ظاهير ، منتهى عرجان عليوي

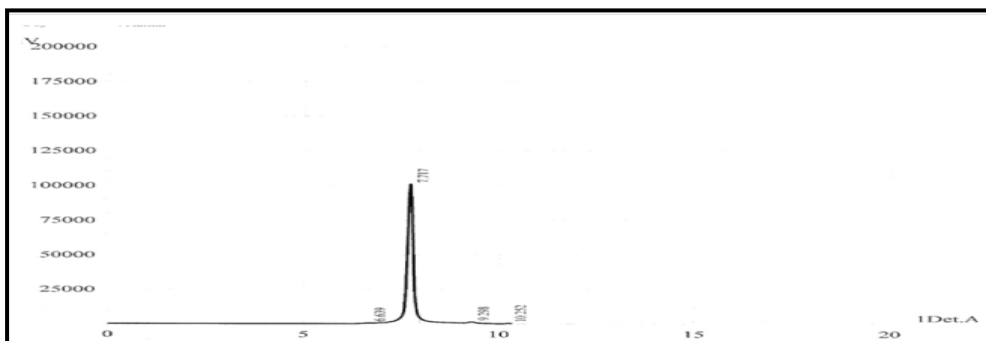
5- اختبار سرعة جريان الطور المتحرك

تم استعمال سرع جريان مختلفة (0.25-2.0) ملتر . دقيقة⁻¹ ومتابعة تأثيرها في كل من تناظر القم ومعاملات السعة وازمان الاحتجاز والنتائج موضحة في الجدول رقم (5).

جدول (5) اختيار سرعة جريان للطور المتحرك المناسب في عملية تقدير حامض التانك المستخلص من قشور الرمان.

NO	Flowrate mL.Min ⁻¹) (¹)	TR(Min)	K	AS	Pressure PA	Note
1	0.25	7.717	1.0717	1.052	4.5	Sharp peak
2	0.75	6.350	5.30	0.225	5	Sharp peak
3	1.0	6.348	5.348	1.437	7.0	Sharp peak
4	1.5	3.128	2.128	1.973	1.5	Sharp peak
5	2.0	3.183	2.183	0.523	17.0	Sharp peak

يلاحظ من الجدول (5) نلاحظ بان افضل سرعة جريان كانت 1.0 مل.دقيقة⁻¹ اذ تم الحصول على افضل تناظر وافضل قيمة وعامل سعة مثالي وبالرغم من حصولنا على زمن احتجاز اقل عند زيادة معدل سرعة الجريان الا ان ذلك يؤثر في زيادة الضغط [22].



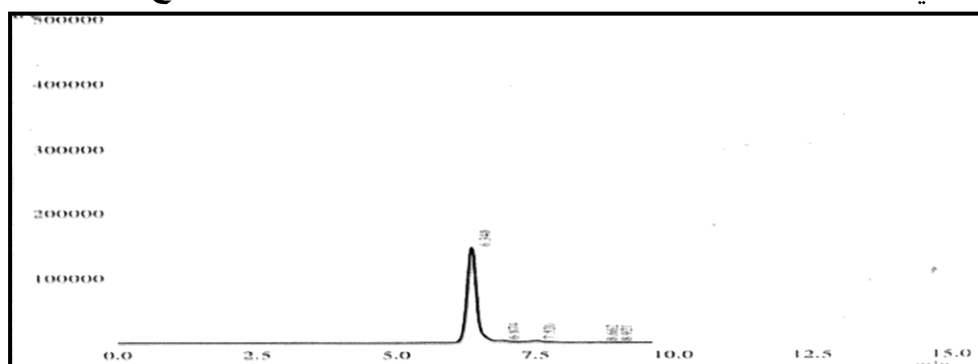
الشكل(4) يبين كروماتوغرام حامض التانك عند سرعة جريان (1 ملي لتر/دقيقة).
والجدول (6) يبين ظروف الفصل المثلثي لحامض التانك بتقنية الفصل للسائل ذات الاداء العالي والتي كانت هي الظروف التشغيلية لعملية الفصل والتقدير الكمي للحامض.

دراسة استخلاص حامض التانك من قشور البرمان وتطبيقاته في إزالة أيون الكروه (III) من المياه الصناعية د. سعدية احمد ظاهير ، منتهى درجان عليوي

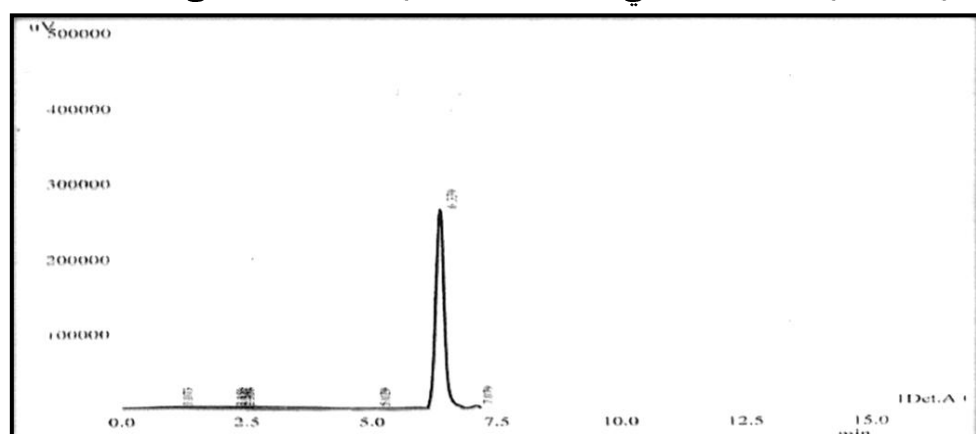
جدول (6) ظروف الفصل المثلث المستخدمة في تقدير حامض التانك بتقنية كروماتوغرافيا السائل عالي الاداء.

1-	Column	ODS C18 (250MM × 4.6MM)I.D. 5mm Particle size
2-	Wavelength(nm)	265
3-	Mobile phase	Methanol-deionized water
4-	Temperature	Room tempereature
5-	Flow rate	1.0 ml-min ⁻¹
6-	PH	Methanol :Deionized Water(30:70) ≈7

الشكل رقم (5) يوضح الكروماتوغرام النهائي لحامض التانك عند ظروف الفصل المثلث. لقد اظهرت النتائج المستحصلة امكانية فصل حامض التانك في المستخلص النباتي المذكور في الدراسة تحت الظروف التشغيلية لأنها اعطت افضل النتائج [23].



الشكل (5) الكروماتوغرام النهائي لحامض التانك القياسي بعد تثبيت الظروف المثلث. الشكل (6) يوضح كروماتوغرام حامض التانك المستخلص من قشور البرمان والمقدر بتقنية كروماتوغرافيا السائل عالي الاداء تحت الظروف الالية المثلث.



شكل (6) كروماتوغرام حامض التانك المستخلص من قشور البرمان.

دراسة استخلاص حامض التانك من قشور الرمان وتطبيقاته في إزالة أيون الكروه (III) من المياه الصناعية د. سعدية احمد ظاهر ، منتهى درجان عليوي

منحي المعايرة القياسي

تم حقن تراكيز مختلفة 0.2-0.005 ميكروغرام.ملتر⁻¹ وبحجم 20 ميكرولتر لكل تركيز من حامض التانك القياسي وتحت الظروف المثلثة ويظهر الشكل (7) ان مدى الاستجابة الخطية بين التركيز والمساحة تحت الذروة يتراوح من 0.2-0.005 ميكروغرام .ملتر⁻¹ من حامض التانك القياسي. والجدول(7) يبين المعطيات الاحصائية التي تم الحصول عليها من المنحي القياسي.

جدول (7) الدقة والتوافقية للمنحي القياسي لحامض التانك.

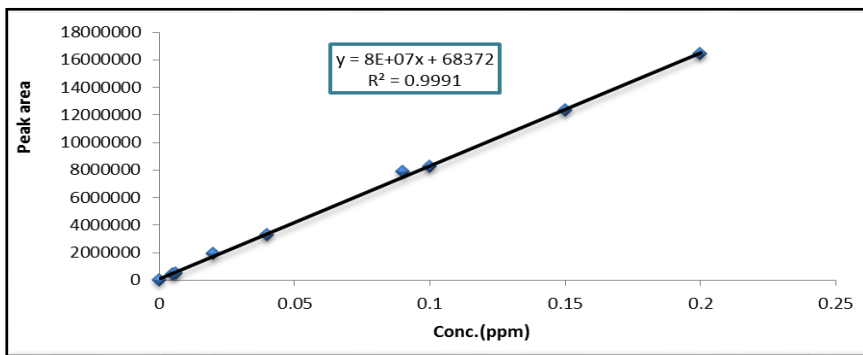
No.	Conc.ppm	Found Conc. ppm	Peak Area	Found Peak Area	Recovery %	RSD %	Everage RSD%
1	0.005	0.00489	392189	382178	97.80	2.549	1.28
2	0.006	0.00590	451592	440582	98.30	2.214	
3	0.020	0.19400	1890794	1620372	97.00	0.529	
4	0.040	0.03900	3276450	3188372	97.50	2.922	
5	0.090	0.0890	7862521	772372	98.80	0.127	
6	0.100	0.0980	8212509	7908872	98.00	1.218	
7	0.150	0.1480	12315763	11908370	98.67	0.081	
8	0.200	0.1980	16425011	15668320	99.50	0.609	

No.	Area	(X _i - X̄)	(X _i - X̄) ²
1	392189	-7961165	6.34*10 ¹³
2	451592	-790762	6.25 *10 ¹³
3	1890794	-6462560	9.18*10 ¹³
4	3276450	-5076904	2.58*10 ¹³
5	7862521	-490833	2.41*10 ¹¹
6	8212509	-140845	1.98*10 ¹⁰
7	12315763	3962409	1.6*10 ¹³
8	16425011	8071657	6.5*10 ¹³
	Mean (X̄)=8353353.625		$\Sigma(X_i - X̄)^2 = 2.745 \times 10^{14}$
			S=6813851
			LOD*-0.26
			LOQ**=0.85

يتضح من الجدول (8) ان حد الكشف للطريقة المقترحة هو 0.26 ميكروغرام.ملتر⁻¹ وحد التقدير الكمي 0.85 ميكروغرام .ملتر⁻¹.

الدقة والتوافقية

من خلال حساب الخطأ النسبي Relative Error وحساب الانحراف القياسي النسبي (RSD) لعدة تراكيز مختلفة من حامض التانك 0.005-0.2 ميكروغرام. ملتر⁻¹ وكل منها ثلاثة قراءات تحت الظروف المثلث، تم فحص دقة وتوافقية الطريقة والنتائج موضحة في الجدول (7) لقيم معدل الانحراف القياسي النسبي ونسبة الاسترجاع المئوية ونسبة الخطأ [24]. يبين الشكل (8) أن العلاقة بين تراكيز محلول القياسي لحامض التانك وبين مساحة القمم هي علاقة خطية .Linear Relation Ship



الشكل (7) المنحني القياسي لتقدير حامض التانك .
جدول رقم (9) المعلومات التي تم الحصول عليها من المنحني القياسي لتقدير حامض التانك.

Parameter	Data
Linearity Range (mg.ml ⁻¹)	0.005_0.2
Slop	8×10^7
Intercept	68372
Determination Coefficient(R^2)	0.9991
Correlation Coefficient (r)	0.9995

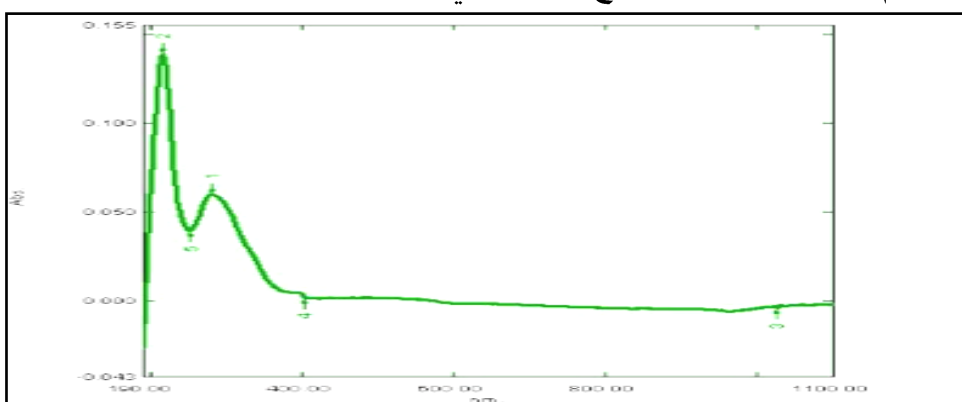
Electronic Spectra

الأطيف الإلكتروني للكافش ومعداته

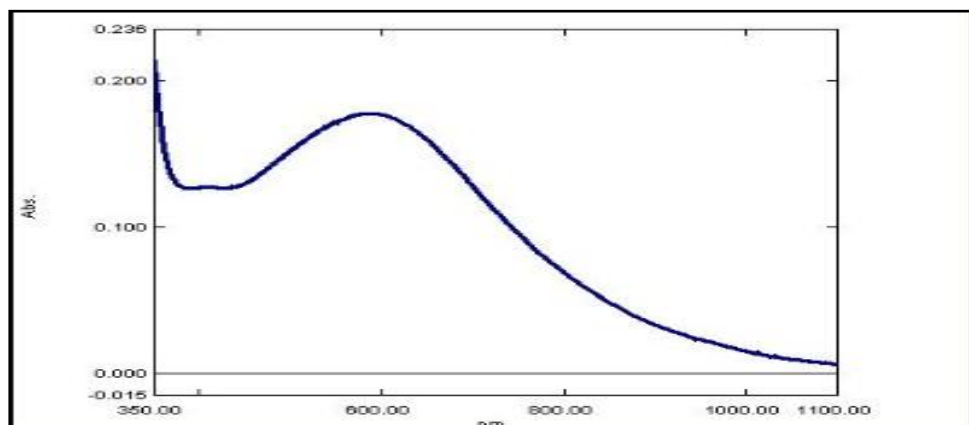
في دراستنا هذه أظهرت الأطيف الإلكتروني لحامض التانك (Tannic Acid) في الشكل (8) إذ تشير نتائج طيف الأشعة فوق البنفسجية-المرئية لهذه الكافش المذاب في الإيثانول المطلق الذي أظهر قمة امتصاص عند 281 نانومتر تعود إلى الانتقالات الإلكترونية ($\pi - \pi$) لمجموعة (C=O) وأخرى عند 213 نانومتر تعود إلى الانتقالات

دراسة استخلاص حامض التانك من قشور الرمان وتطبيقاته في إزالة أيون الكروم (III) من المياه الصناعية د. سعدية احمد ظاهير ، منتهى درجان عليوي

الإلكترونية ($\pi - \pi$). إن الاطياف الإلكترونية لمعقد أيون الكروم الفلزات (Cr-TA)، الموضحة في الشكل 8 واظهرت حزم امتصاص جديدة تعود إلى انتقالات (d-d) الخاصة بالعناصر الانتقالية التي تمتلك في أحد حالات تاكسدها اوربيات d غير تام التشبع ضمن المنطقة المرئية. ($\lambda_{\text{max}} \text{ Cr-TA} = 601 \text{ nm}$) مع حدوث ازاحات لحزم الكاشف عن موقعها، وان القيم اعلاه جاءت متفقة مع ما ورد في الابحاث [25,26].



الشكل (8) طيف امتصاص كاشف حامض التانك المستخلص.



شكل (9) طيف امتصاص معقد الكروم (Cr-TA).

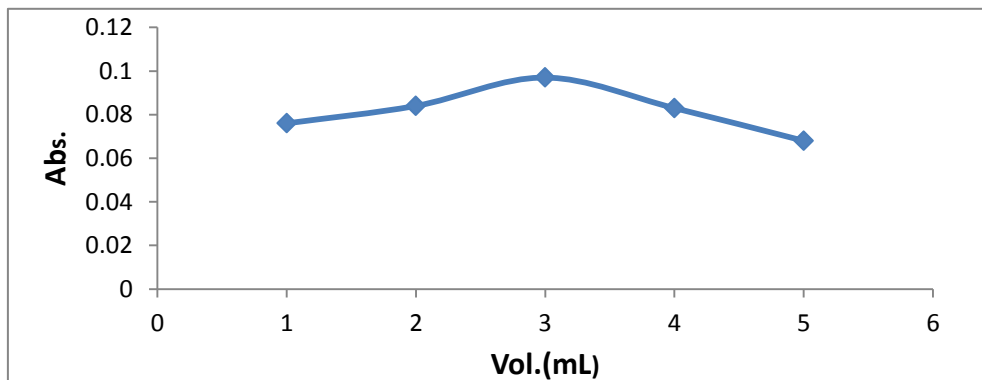
دراسة الظروف المثلى لتكوين معقد الكروم (III) مع الكاشف (حامض التانك)

أ- حجم الكاشف الأفضل : Volume of Reagent

درس تأثير حجم الكاشف في تكوين المعقد وكما هو موضح في الشكل رقم (10) الذي يبين قيم الامتصاص للمعقد والتي تزداد لتبلغ ذروتها عند 3.0 ملتر من محلول الكاشف بتركيز 10^{-3} M مولاري مع ملليلتر واحد من محلول أيون الكروم (Cr(III))، بتركيز 10.00 جزء من المليون لاعطاء افضل شدة لونية، ثم تبدا قيم الامتصاص

دراسة استطرد حامض القانك من قشور الرمان وتطبيقاته في إزالة أيون الكروم (III) من المياه الصناعية د. سعدية احمد ظاهير ، منتهى درجان عليوي

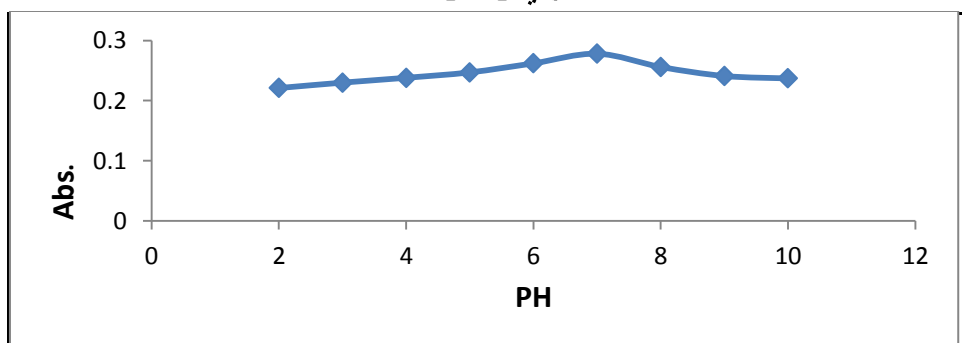
بالتناقض عند زيادة حجم الكاشف، الذي ربما يعود سبب إلى امتلاء المجال التناسقي للايون الفلزي مع الكاشف أو بسبب تكوين فصائل أخرى جديدة ماصة للاشعاع تتسبب في انكسار الضوء الساقط وتشتيته ومن ثم نقصان امتصاص المعقد المتكون [27].



الشكل (10) حجم الكاشف الأفضل لمعقد الكروم (Cr-TA).

ب- تأثير الدالة الحامضية Effect of pH

يتضح من الشكل (11) انه بالامكان تقدير ايون الكروم Cr(III) مع الكاشف (Tannic acid) في مديات دالة حامضية تتراوح بين pH 8 – 6 اذ لوحظ ان الشدة اللونية لمحلول المعقد تزداد تدريجياً لتصل الى ذروتها عند الدالة الحامضية pH= (7) والتي يكون عندها المعقد ذا لونبني غامق وهي تمثل قيمة hg]hgmg hgphlqdm الفضلی للوصول الى اعلى امتصاصية، ويقل الامتصاص للمعقد بازدياد قيم الدالة الحامضية عن هذا الحد، وربما يعود السبب الى عملية التحلل للمعقد وتجزئه او تكوين ايونات معقدة غير مستقرة وتؤدي الدالة الحامضية دوراً كبيراً في عملية تثبيت البروتونات على الذرات الواهبة الموجودة في تركيب الكاشف او ازاحتها التي تؤثر في عملية التناقض بين الكاشف والايون الفلزي [27].



شكل (11) تأثير الدالة الحامضية في امتصاص معقد الكروم (Cr-TA).

جـــ تأثير ترتيب الاضافة Effect Order of Addition

اجريت هذه الدراسة لمعرفة تأثير ترتيب الاضافة مكونات التفاعل على امتصاص معقد الكروم Cr(III) وتم الاعتماد على اثنين من ترتيب الاضافة الاولى والذي يعطي اعلى امتصاص مقارنة بالترتيب الثاني الذي يعطي امتصاص واطئاً، والذي يعزى الى ارتباط بعض الايونات السالبة للحامض او القاعدة مع الفلز، مما يؤدي الى خفض قيمة الامتصاص [27]، ومن ثم اعتمد على الترتيب الاول في تقدير ايون الكروم بالطريق الطيفية لكونه يعطي امتصاصاً اعلى وافضل من الترتيب الثاني والجدول (10) يبين ذلك.

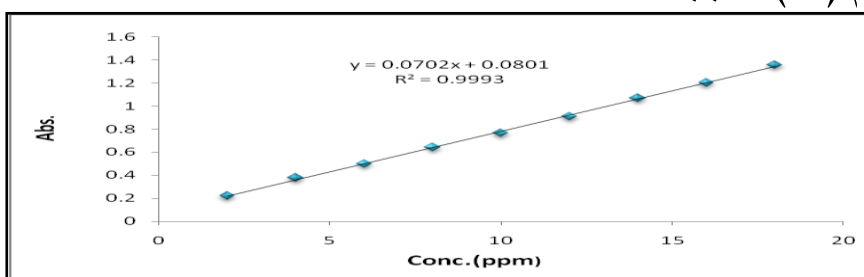
جدول (10) تأثير ترتيب الاضافة لتكوين معقد الكروم .

الامتصاص لمعقد الكروم	ترتيب الاضافة	ت
0.126	M + L + pH	1
0.103	L + M + pH	2

Construction of Calibration Curve

بناء منحني المعايير

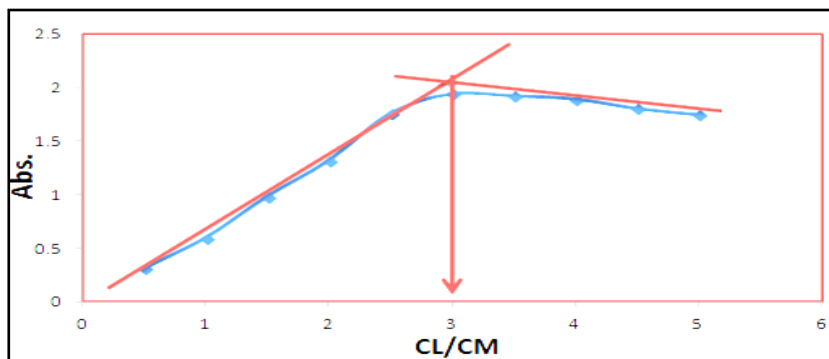
يوضح الشكل (12) منحني المعايير القياسي لايون الكروم (Cr) مع الكاشف (Tannic acid) ، اذ اتضح ان معقد الكروم Cr(III) بطيء قانون لامبرت بير لمدى من التراكيز تراوحت بين (18-2) جزء بالمليون تحت الظروف المثلث عند الطول الموجي (601) نانوميتر وكان معامل الارتباط ($R=0.9993$) وبحد كشف 0.0085 جزء في المليون اما قيمة معامل الامتصاص المولاري وكانت تساوي (0.3×10^4) لتر.مول $^{-1}$. سم $^{-1}$ ، وحسبت حساسية ساندل Sandells Sensitivity وكانت تساوي (0.0049) مايكروغرام سم $^{-2}$ ، ومن خلال قيمة الامتصاصية المولارية العالية وحساسية ساندل تبين ان المعقد المتكون من تفاعل ايون الكروم (Cr) مع الكاشف حامض التانك (Tannic Acid) يمتص بشدة في المنطقة المرئية وهذا يعزز امكانية تقدير التراكيز الواطئة من ايون الكروم (Cr) الطيفية.



شكل (12) منحني المعايير لمعقد الكروم.

3-7- تعين تكافؤية المعقد Mole ratio of complex

اعتمدت في هذه الدراسة طريقة النسب المولية (Molar Ratio method)، والتي تتضمن هذه الطريقة تحضير سلسلة من المحاليل التي تحتوي على تركيز مولي ثابت بالنسبة للايون الفلزي 2×10^{-4} مولار وتركيز مولية متزايدة بالنسبة لليكاند $10^{-4} - 0.25$ مولار، يتم بعدها قياس الامتصاص (A) للمحاليل في الطول الموجي الذي يحصل عليه أعلى امتصاص (λ_{max}) للإشعاع من قبل المعقد الناتج ولا يحدث عنده امتصاص لليكاند لوحده او لايون الفلز لوحده [28]، ويوضح الشكل رقم (13) العلاقة البيانية لمعقد الكروم (Cr-TA)، وكانت النسبة المولارية هي 1:3.



شكل (13) منحي النسبة المولية (Cr-TA).

حساب درجة التفكك وثابت الاستقرارية لمعقد

Calculation of Dissociation Degree And Stability Constant of Complex

لمعرفة مدى استقرارية معقد (Cr) المتكون وامكانية دراسته بالطريق الطيفية حسبت درجة التفكك وثابت الاستقرارية لمعقد اذا ثبّين ان درجة التفكك تساوي (0.0240) وقيمة ثابت الاستقرارية لمعقد المتكون تساوي 5.949×10^4 لتر² مول⁻² ويتبّح من الجدول (11) ان معقد الكروم (Cr) المتكون ذو استقرارية عالية مما يعزّز امكانية استعمال الكافش (حامض اتانك) التقدير الطيفي لأيون الكروم (Cr).

جدول (11) قيم درجة التفكك وثابت الاستقرارية لمعقد الكروم - التانك.

Vol.of Cr	Absorbance at λ_{max} nm				K(Average) (L.mol ⁻²)
	Am	As	A	K(L.mol ⁻¹)	
0.6	1.245	0.936	0.248	6.065×10^4	5.949×10^4
0.8	2.512	1.974	0.214	8.543×10^4	
1ml	3.612	2.445	0.323	3.240×10^4	

المعالجة الاحصائية للنتائج

لتتعرف على تكرارية الطريقة التحليلية المتبعة ودقتها كان لابد من اختبار التركيز المعلوم بها في من منحي المعايير وهي 2.00-18 جزء بالمليون من محلول أيون الكروم Cr(III) ولثلاثة محاليل لكل تركيز لحساب الانحراف القياسي النسبي المئوي R.S.D% والخطأ النسبي المئوي بحسب النتائج الموضحة في الجدول (12).

جدول (12) النتائج الاحصائية لمعقد الكروم

Conc μg.ml ⁻¹	Absorbance			Mean Abs.	RSD%	Found	Recovery	Erel
	R ₁	R ₂	R ₃					
2	0.219	0.224	0.223	0.220	1.203	1.975	98.75	1.25
4	0.375	0.379	0.377	0.377	1.196	3.962	99.05	0.95
6	0.495	0.499	0.560	0.498	0.531	5.890	98.17	1.83
8	0.640	0.641	0.648	0.643	0.678	7.795	97.43	2.56
10	0.761	0.769	0.768	0.766	0.569	9.875	98.75	1.25
12	0.913	0.913	0.908	0.910	0.291	11.915	99.25	0.71
14	1.065	1.069	1.076	1.068	0.248	13.692	97.80	2.2
16	1.200	1.205	1.205	1.202	0.220	15.680	98.00	2
18	1.359	1.357	1.352	1.356	0.266	17.270	97.60	4.1

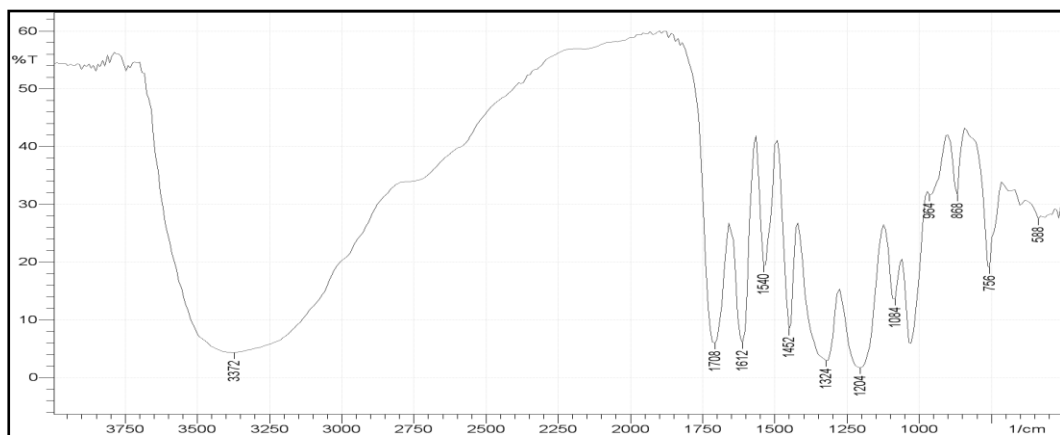
ومن خلال النتائج التي تم الحصول عليها يمكن الاستدلال على ان الطريقة التحليلية المتبعة في القياس باستعمال الكاشف (Tannic Acid) ذات دقة وضبط جيدة.

دراسة طيف الاشعة تحت الحمراء

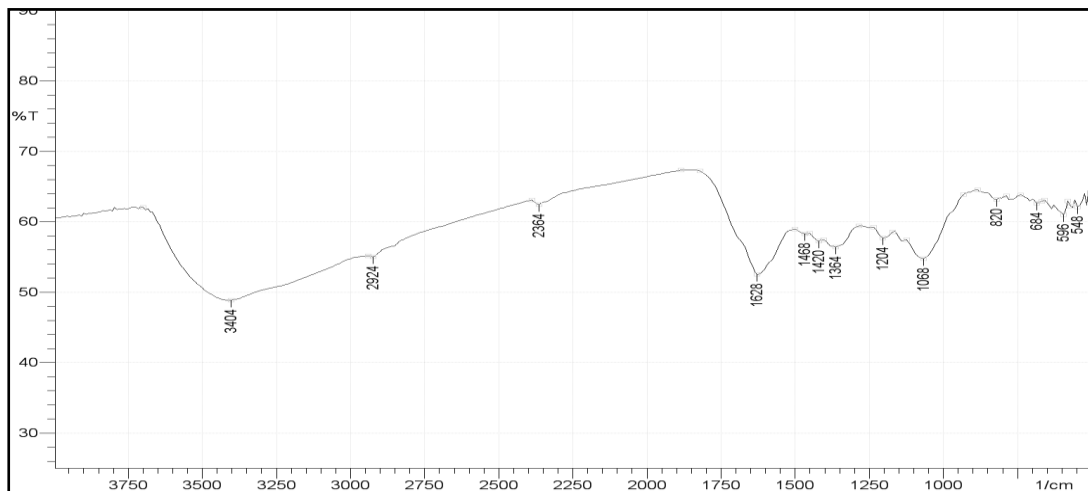
ان طيف الاشعة تحت الحمراء لحامض التانك Tannic acid المستخلص من قشور الرمان قد اظهر حزمة عرضية كانت محسورة مابين cm^{-1} 3372-3376 الامتصاصي (Stretching Vibration) للاصرة (O-H) وتشير المصادر [29,30]. الى ان حزم الامتصاص العائد لمجموعة يعطي امتصاصا عريضا ضمن المدى cm^{-1} 3600-3500 والسبب في هذا الانخفاض يعود الي تكوين الاواصر الهيدروجينية البينية ضمن مركب حامض التانك لمجاميع (OH) الفينولية. لقد اظهر طيف الاشعة تحت الحمراء (I.R) لحامض التانك حزمة امتصاص قوية ضمن المدى cm^{-1} 1730-1705 تعود الى التردد الامتصاصي لمجموعة الكاربوبيل (C=O) وكذلك اظهر الطيف حزمة امتصاص عند cm^{-1} 1612 تعود الى التردد الامتصاصي لمجموعة (Arom-C-O-). وظهرت ايضا حزمة عند (1452) تعود الى التردد الامتصاصي لمجموعة δCH_2 ، (Arom-CH₂-OH). من الملاحظ طيف الاشعة تحت الحمراء لمعقد حامض التانك المستخلص الموضحة في الشكل (14) تظهر حزمة متوسطة محسورة بين cm^{-1}

دراسة استخلاص حامض القانك من قشور الرمان وتطبيقاته في إزالة أيون الكروه (III) من المياه الصناعية د. سعدية احمد ظاهير ، منتهى درجان عليوي

(3420) ناتجة من التردد الامطاطي هو لمجموعة (O-H) والذي يدعم مشاركة ذرة الاوكسجين لمجموعة (O-H) الفينولية هو نقصان حدة الحزمة مع حدوث ازاحة موجية من موقعها بحدود cm^{-1} (48) سبب نقصان عدد الاواصر H-bonded لمجموعة [31] OH. تلاشي الحزم الامتصاص لمجموعة الكاربونييل (C=O) عند (1700) في المعقد دليل على تناقض (TA) مع ايون الفلز [32]، كذلك التغيرات التي حدث في حزم الامتصاص في cm^{-1} (1300-100) دليل على تناقض مجاميع الهيدروكسيل الفينولية مع ايون الفلز [33,34].



الشكل(14) طيف الاشعة تحت الحمراء لحامض القانك المستخلص.



الشكل (15) طيف الاشعة تحت الحمراء لمعقد الكروم.

قياسات التوصيلية الكهربائية المولارية Molar Conductivity

تم قياس التوصيلية المولارية للمعقادات المحضرة عند تركيز $M = 10^{-3}$ [35,36] ، في مذيب ثائي مثل فورم بب امايد (DMF) مرة وفي مذيب الكحول الاثيلي مرة اخرى وفي درجة حرارة المختبر، وذلك لغرض تحديد الصفة الالكترونية لها كونها ايونية او متعادلة [37]، وقد تبين من قياسات التوصيلية الكهربائية المولارية ان معقد الكروم يسلك سلوك المركبات غير المتعادلة فهو الكتروني وموصل بنسبة 1:3 لمعقد Cr(III) وكما موضح في الجدول 13.

جدول (13) قيم التوصيلية الكهربائية المولارية ($\text{ohm}^{-1} \cdot \text{cm}^2 \cdot \text{mol}^{-1}$) للمعقد المحضر في درجة حرارة 25°C وتركيز (10^{-3} M) .

رمز المعقد	المعقدات	التوصيلية المولارية Λ_m (DMF)	التوصيلية المولارية Λ_m (Ethanol)	النسبة
Cr-TA	$\text{Cr}(\text{C}_{76}\text{H}_{52}\text{O}_{46})_3$	216	119	3:1

References

- Chen, K.W.; Yu, M, X.; Y, K. and Jiang, Q. (2005). The association between drinking water source and colorectal cancer incidence in Jiashan County of China : a prospective cohort study . Eur J.Public Health .15:652-656.
- Weiner, E.R. (2000). Application of environmental chemistry, Lewis Puplshers ,London ,New Uork.
- Duffus, T. H. (2002). "Heavy metals "Ameaning less term?. Purp.Appl.Chem.74:793-807.
- Loukidou, X. X.; Zouboulis, A. I.; Karapantsions, T. D. and Matise, K. A.; (2004). Equilibrium and kinetic modeling of Cr (VI) biosorption by Aeromonas caviae. Surf. Phyicochem. Eng. Aspects., 242 : 93 – 104.
- Dokken, k.; Gamez, G.; Herrera, I.; Tiemann, K. J.; Pingitore, N. E.; Chianelli, R. R.; and Gardea, J. L.; (1999). Characterization of Chromium (VI) bioremediation and chromium (III) binding to alfalfa biomass, proceeding.
- Nasseri, S.; Assadi, M. M.; Sepeher, M. N.; Rostami, K. H.; Shariat, M. and Nadafi, K. (2002). Chromium removal from tanning effluent using biomass of Aspergillus oryzae. Pakistan J. Biological Sci. 5 (10) : 1056 – 1059.
- Urrutia, M. M. and Beveridge, T. J. (1993). Re-mobilization of heavy metals retained as oxyhydroxides or silicates by Bacillus subtilis cells. Appl. Microbiol. 59 : 4329 – 4332.
- Bevridge, T. J. (1989). The role of cellular design in bacterial metal accumulation and mineralization Annuu. Rev. Microbiol. 43 : 147 – 171.
- Cossich, E. S.; Dasilva, E. A.; Tavares, C. G.; Filho, I. C. and Ravagnani, T. M. (2004). Biosorption of Chromium (III) by biomass of seaweed Sargassum sp. In fixed bedcolumn. Adsorption, 10 (2) : 129 – 138.

دراسة استخلاص حامض القاتن من قشور الليمان وتطبيقاته في إزالة أيون المخرب (III) من المياه الصناعية د. سعدية احمد ظاهير ، منتهى درجان عليوي

- 10- Okuda, T.; Mori, K. and Hatano, T. (1985). Relationship of the structures of tannins to the binding activities with hemoglobin and methylene blue. *Chem. Pharm. Bull.* 33, 1424-1433.
- 11- Frutos, P.; Hervás, G.; Giráldez, F. J. and Mantecon, A.R. (2004). Review Tannins and ruminant nutrition Spanish Journal of Agricultural Research 2 (2), 191-202.
- 12- Latté, K.P. and Kolodziej, H.J. (2004). Antioxidant properties of phenolic compounds from Pelargonium reniforme. *Journal of Agricultural and Food Chemistry* 52, 15 : 4899-4902.
- 13- Schofield, P.; Mbugua, D.M. and Pell, A. N. (2001). Analysis of condensed tannins: a review. *Journal of Animal Science and Technology* 91, 1 : 21-40.
- 14- Harborne,J.B. (1973). *phytochemical Methods* Halsted press,Division of John Wileyof Sone ,Inc.New York.
- 15- Roffael, E.; Dix, B. and Okum, J. (2000). Use of spruce tannin as a binder in particleboards and medium density fiberoards (MDF) Holz als Roh-und Werstoff 58 (5): 301-305.
- 16- Sellers, T.; and Miller, Q.D.; (2004). Laboratory manufacture of high moisture southern pine standboard bonded with three tannin adhesive types. *Forest Prod. J.* 54(12) :269-301.
- 17- Fengel, D. and Wegener, G. (1984). *Wood chemistry ultrastructure reaction*. Walter de Gruyer Berlin. NewYork.
- 18- Niessen, W. (2006). "Liquid Chromatography-Mass Spectrometry". 3rd Edn. Taylor and Francis Group,LLC, New York, pp. 5,7, 9,11.
- 19- Skoog, D. A.; West, D. M.; Holler, F. J. and Crouch, S. R. (2014). "Fundamentals of Analytical Chemistry ", 9 th Edn., Brooks/Cole, Cengage Learning, New York, pp. 866-869, 881.
- 20- El-Bagary, R.I. (2008). Determination of hydrated pantoprazole sodium in presence of its degradation products and in tablets form. *Bull. Fac. Pharm. Cairo Univ.*, 46(1), 165-176.
- 21- El-Bagary, R.I. (2008). Spectrophotometric and high performance liquid chromatography methods for the determination of thizanidine hydrochloride in pharmaceutical dosage form. *Bull. Fac. Cairo Univ.*, 46(1), 283-284.
- 22- Harris, D. C. (2010). "Quantitative Chemical Analysis". 8 th Edn., W. H. Freeman and Company, New York, pp. 545, 552, 599, 610, 617, 599.
- 23- Hagerman, A.E. (1989). Chemistry of tannin-protein complexation. In Chemistry and Significance of Condensed Tannins, 1st ed.; Hemingway, R.W.,Karchesy, J.J., Eds.; Plenum Press: New York, NY, USA; pp. 323-333.
- 24- Valcarcel, M. (2000). "Principles of Analytical Chemistry". Springer- Verlag, Berlin, pp. 67-68.
- 25- Otto, M. (2000). *Analytische Chemie*, Wiley-Vch, Weinheim, Zweite Auflage, pp.44, 252-258, 525-527.
- 26- Silverstein, B. and Morrill. (1981). "Spectrometric Identification of Organic Compounds" Translated by H.K. Ewadh, F.A., Hussein and S.S. Al-Azawi, 4th ed., Baghdad University, 702,
- 27- Mohanad, H.A. (2012). M.Sc. Thesis, University of Kufa.
- 28- Haevy, A. E. and Manning, D.L. (1950). *G.Am. chem. Soc.*, 72, 4488.
- 29- Pantoja-Castro, M.A. and Gonzalez-Rodriguez, H.; (2011). Study by infrared spectroscopy and thermogravimetric. *Quim.*, 39, 107-111.

- 30- peres, R.S.; Cassel, E.; Azambuja, D.S.; (2012). Blackwattle tannin as steel corrosion inhibitor, ISRN Corrosion, Article ID 937920, doi: 10.5402/2012/937920.
- 31- Verma, S. and Shrivastva, S. R.; (2013). Synthesis, characterization, and physicochemical studies of mixed ligand complexes, J. Chemistry, Article ID 309179, <http://dx.doi.org/10.1155/2013/309179>.
- 32- Incedy, J.; (1979). Analytical applications of complex equilibria, Mir, Moscow, pp. 50-51; pp. 156-161; p. 290.
- 33- Ringbom, A. (1963). Complexation in analytical chemistry, Interscience Publ., pp.29.
- 34- Van de G. M. and Velde, H. (1977). The oxalato complexes of titanium (IV). I. Mononuclear $Ti(OH)_2(C_2O_4)_2$ - in solution, J. Inorg.Nucl. Chem., 39, 1357-1362.
- 35- Geary, W.J. (1971). Coordination Chem. Rev., 7, 81.
- 36- Filippo, D. E. and Verani, D .G.; (1974). J. Inorg. Nucl.Chem.,36,372.
- 37- Tosi, P. (1980). J. Inorg. Nucl. Chem., 42, 37.

Analytical Study for Extraction Process from Tannic acid and its Application for chromium ion (III) removal from industrial water.

Abstract

The research included study of extraction natural compounds (tannic acid) from pomegranates which used as the most important material in water pollution treatment with heavy metals by using high performance liquid chromatographic method. In addition to spectroscopic methods such as (UV-Vis, FT-IR) to estimated complexes formed between metal ions with tannic acid. The analysis was achieved by C₁₈ column (250 mm x 4.6 mm i.d., 5µm particle size) with UV. Detection at wave length 265 nm. And the retention time 6.348 min, RSD better than ±1.28 % , Recovery 98.2%, with LOD and LOQ (0.26 ppm, 0.85 ppm) respectively. The research includes the reaction between the tannic acid (reagent) with Cr(III) metal ion for complex formation. At wave length 601 and the wave length for tannic acid was 281 nm. Also study of the optimum conditions for the reaction ion of this metal ion with the reagent such as the volume of reagent solution, order of addition and effectives of pH. Study of stability of complex the calibration curve of complex the calibration curve of complex in the range (2-8) ppm with a correlation coefficient r=0.9991, molar absorptivity $\varepsilon= 0.3 \times 10^4 \text{ L.mol}^{-1}.\text{cm}^{-1}$. And sandell sensitivity was 0.0146 µg. cm⁻².

The stoichiometry of the formed complexes between metals and tannic acid was investigated by mole ratio method, the ratio (M:L) was (3:1) at pH = 7. The stability constant (K_{st}) for complex $5.949 \times 10^4 \text{ L}^2.\text{mol}^{-2}$, Precision and accuracy of the analytical procedure was showed for (TA-Cr)complex and that RSD% (0.62), and Erel% (1.86) for concentration (2 -8) ppm. The physical properties of precipitants was studied through the establishment of melting point, solubility and molar conductivity as well as the measurement of FT-IR, with the suggestion of structural formula of the formed complexes with the reagent (tannic acid).